

Material Suplementar

Dinâmica e Análise de Variância da Depuração de Elementos Traço em Moluscos Bivalves, Provenientes da Ostreicultura na Região do Salgado, Estado do Pará

Dynamics and Analysis of Variance of Trace Element Depuration in Bivalve Mollusks from Oyster Farming in the Salgado Region, State of Pará

Neuton Trindade Vasconcelos Junior,^a (<https://orcid.org/0000-0003-2697-1086>) Renata Chaves Souza,^b (<https://orcid.org/0000-0001-9870-5313>) Luíza de Cássia Santa Brigida Gomes,^a (<https://orcid.org/0000-0003-0080-3447>) Marília Ahndrew Veiga,^c (<https://orcid.org/0009-0004-3236-827X>) Cássio Raimundo Freitas Faial,^d (<https://orcid.org/0000-0002-6590-1614>) Yasmim Oliveira dos Santos,^e (<https://orcid.org/0009-0005-0213-4947>) Kleber Raimundo Freitas Faial,^a (<https://orcid.org/0000-0002-8575-1262>) Mônica Cristina de Moraes Silva,^b (<https://orcid.org/0000-0001-8342-3479>) Kelson do Carmo Freitas Faial^a (<https://orcid.org/0000-0001-7094-4902>)

^a Instituto Evandro Chagas, Seção de Meio Ambiente, CEP 67030-000, Ananindeua-PA, Brasil

^b Instituto Evandro Chagas, Seção de Parasitologia, CEP 67030-000, Ananindeua-PA, Brasil

^c Universidade Federal do Pará, Instituto de Geociências, CEP 66075-110, Belém-PA, Brasil

^d Universidade Federal do Pará, Instituto de Ciências Exatas e Naturais, CEP 66075-110, Belém-PA, Brasil

^e Universidade do Estado do Pará, Centro de Ciências Naturais e Tecnologia, CEP 66095-015, Belém-PA, Brasil

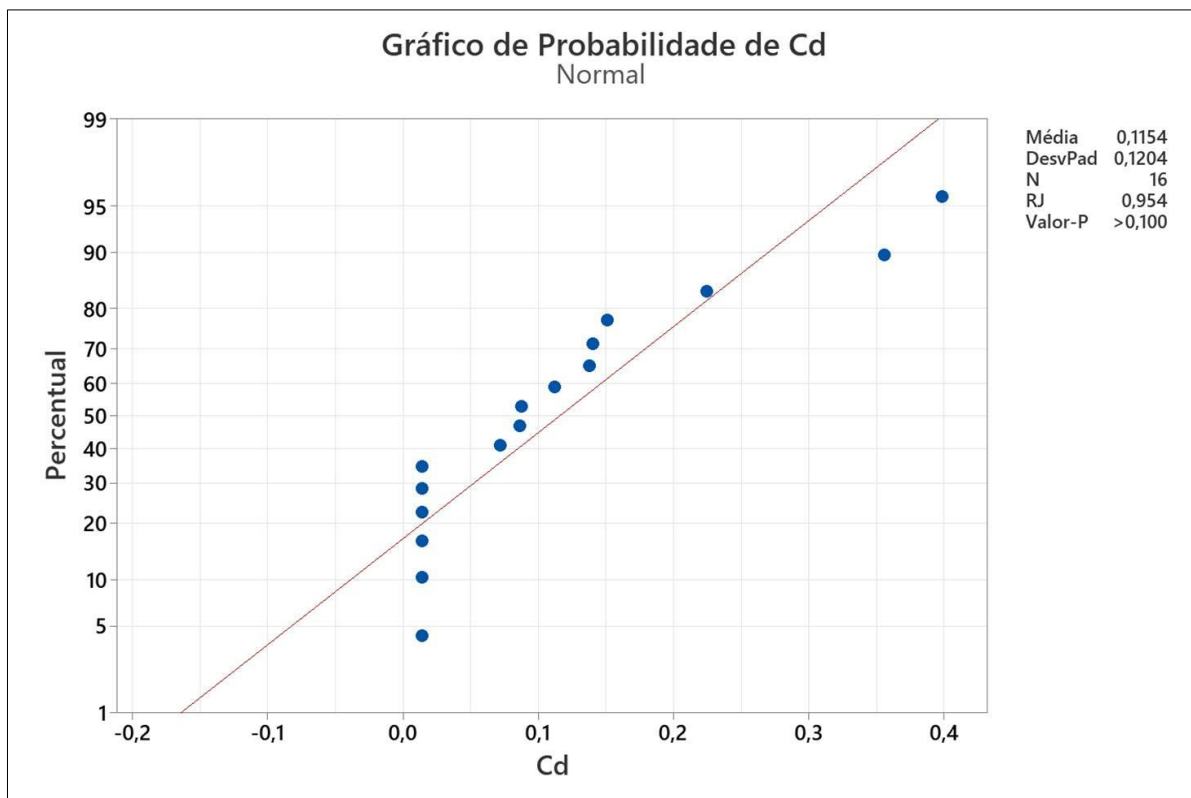


Figura S1. Teste R de Ryan-Joiner (similar ao teste W de Shapiro-Wilk) a 5% de significância para cádmio (Cd)

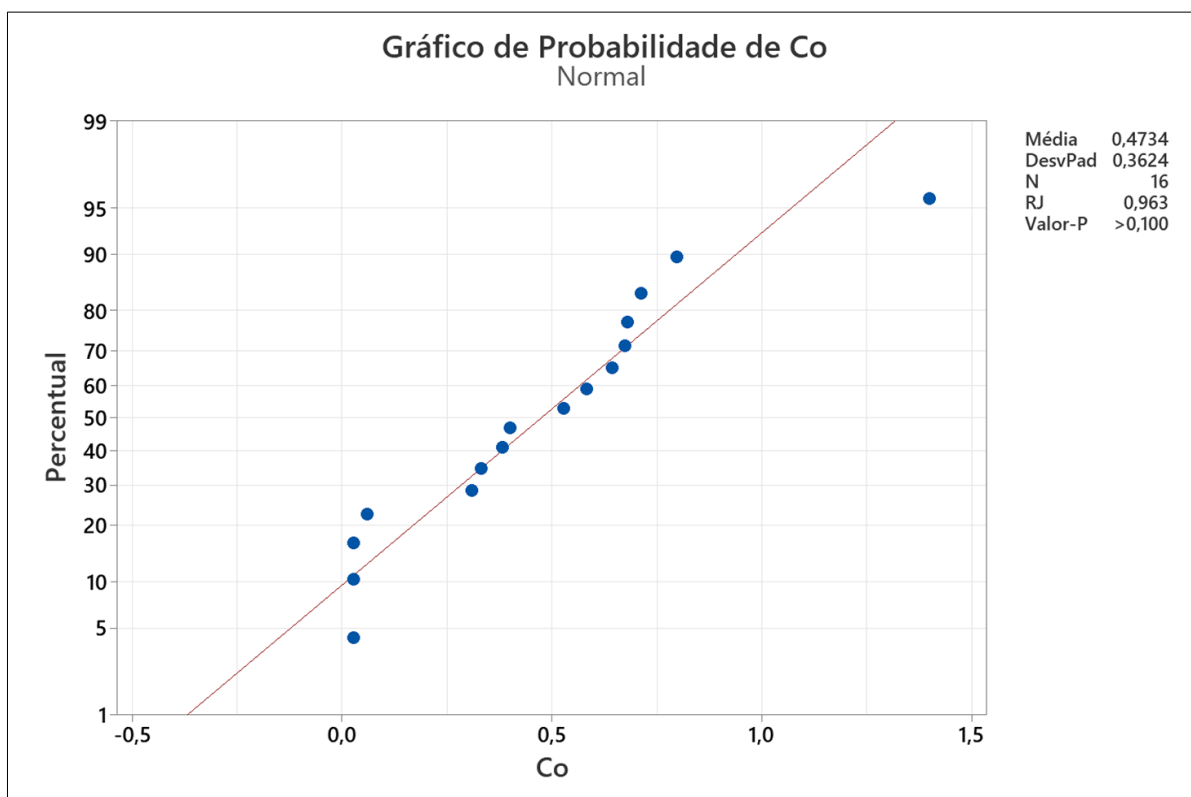


Figura S2. Teste R de Ryan-Joiner (similar ao teste W de Shapiro-Wilk) a 5% de significância para cobalto (Co)

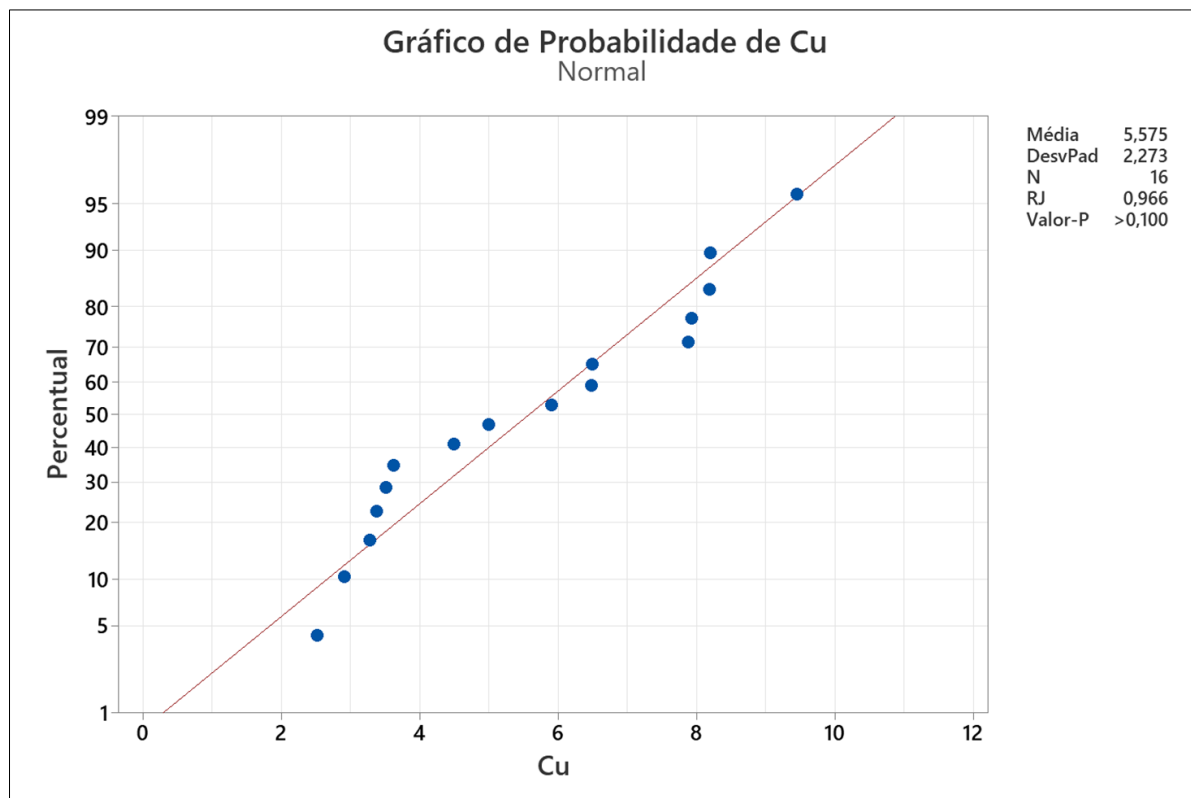


Figura S3. Teste R de Ryan-Joiner (similar ao teste W de Shapiro-Wilk) a 5% de significância para cobre (Cu)

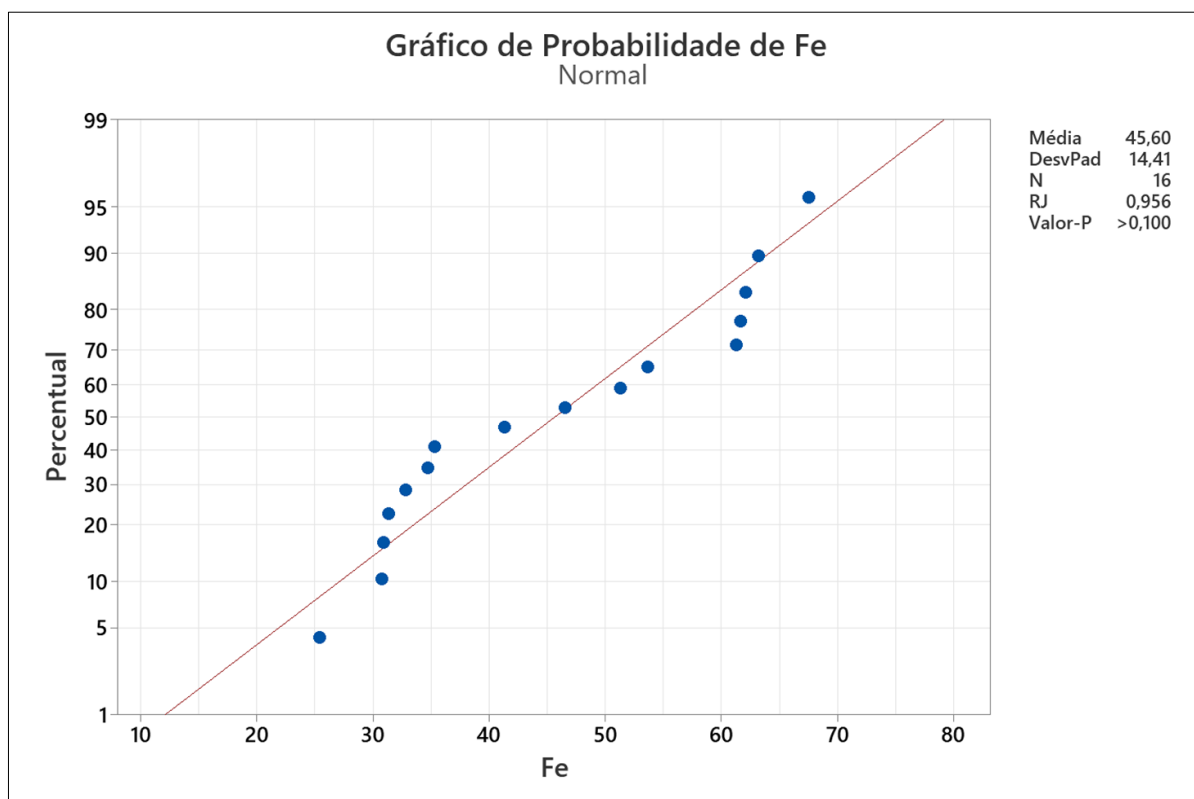


Figura S4. Teste R de Ryan-Joiner (similar ao teste W de Shapiro-Wilk) a 5% de significância para Ferro (Fe)

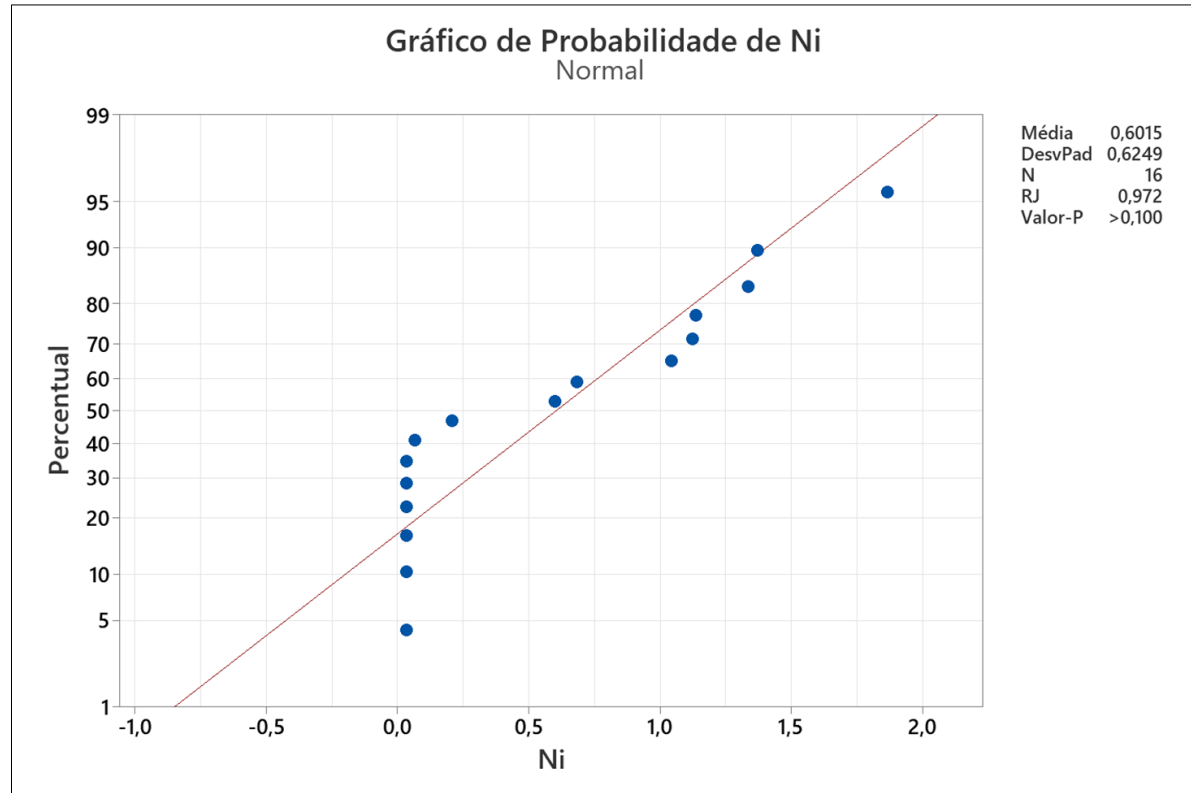


Figura S5. Teste R de Ryan-Joiner (similar ao teste W de Shapiro-Wilk) a 5% de significância para Níquel I(Ni)

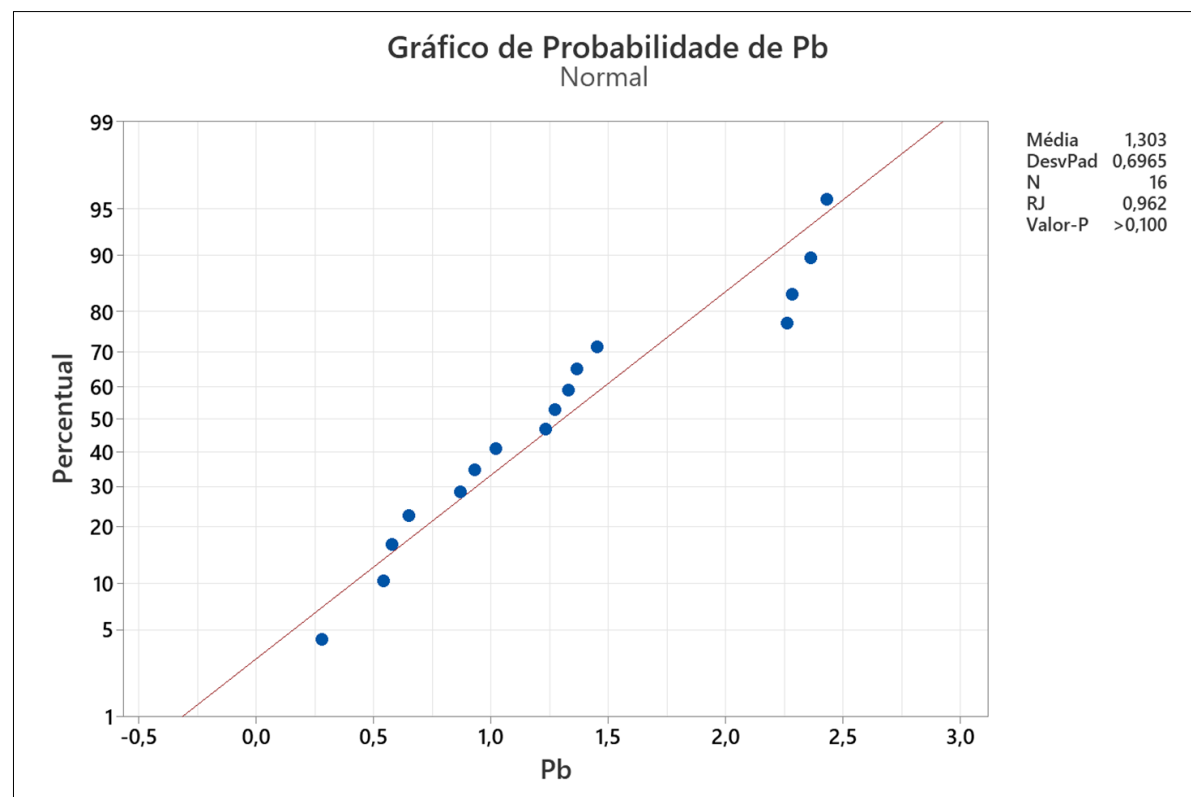


Figura S6. Teste R de Ryan-Joiner (similar ao teste W de Shapiro-Wilk) a 5% de significância para Chumbo (Pb)

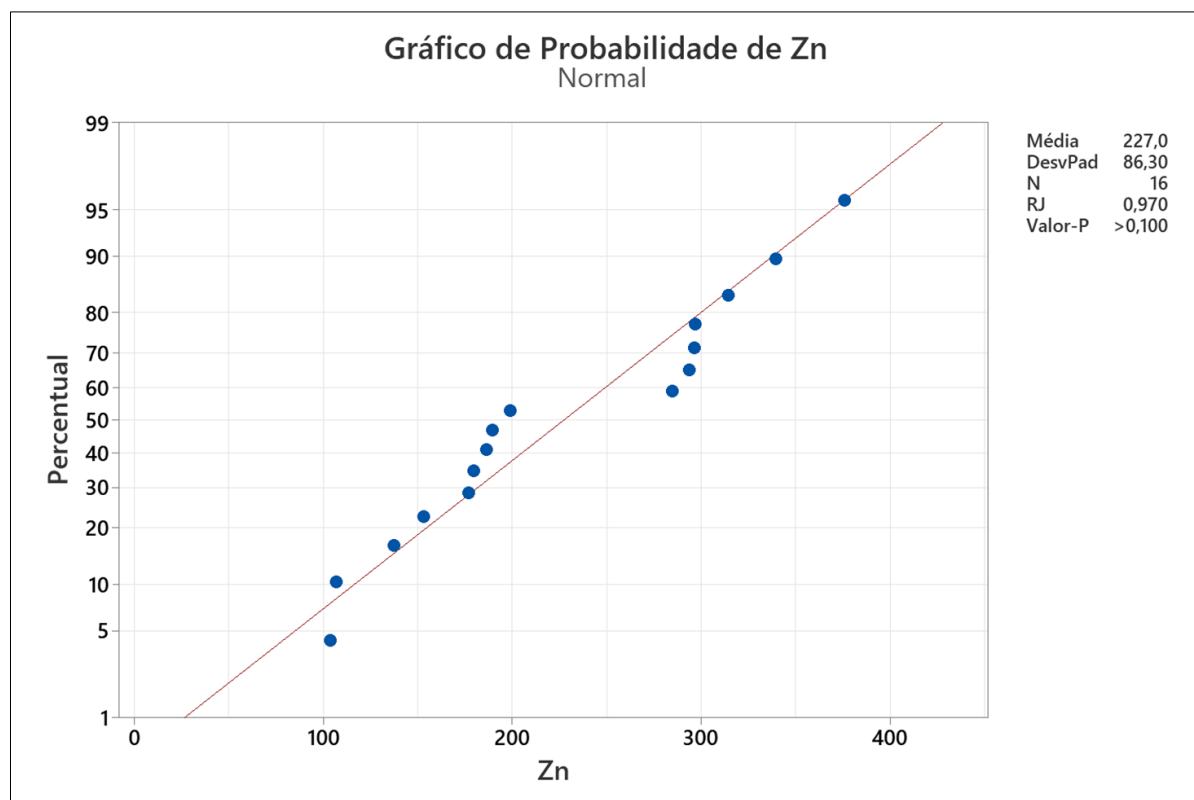


Figura S7. Teste R de Ryan-Joiner (similar ao teste W de Shapiro-Wilk) a 5% de significância para Zinco (Zn)

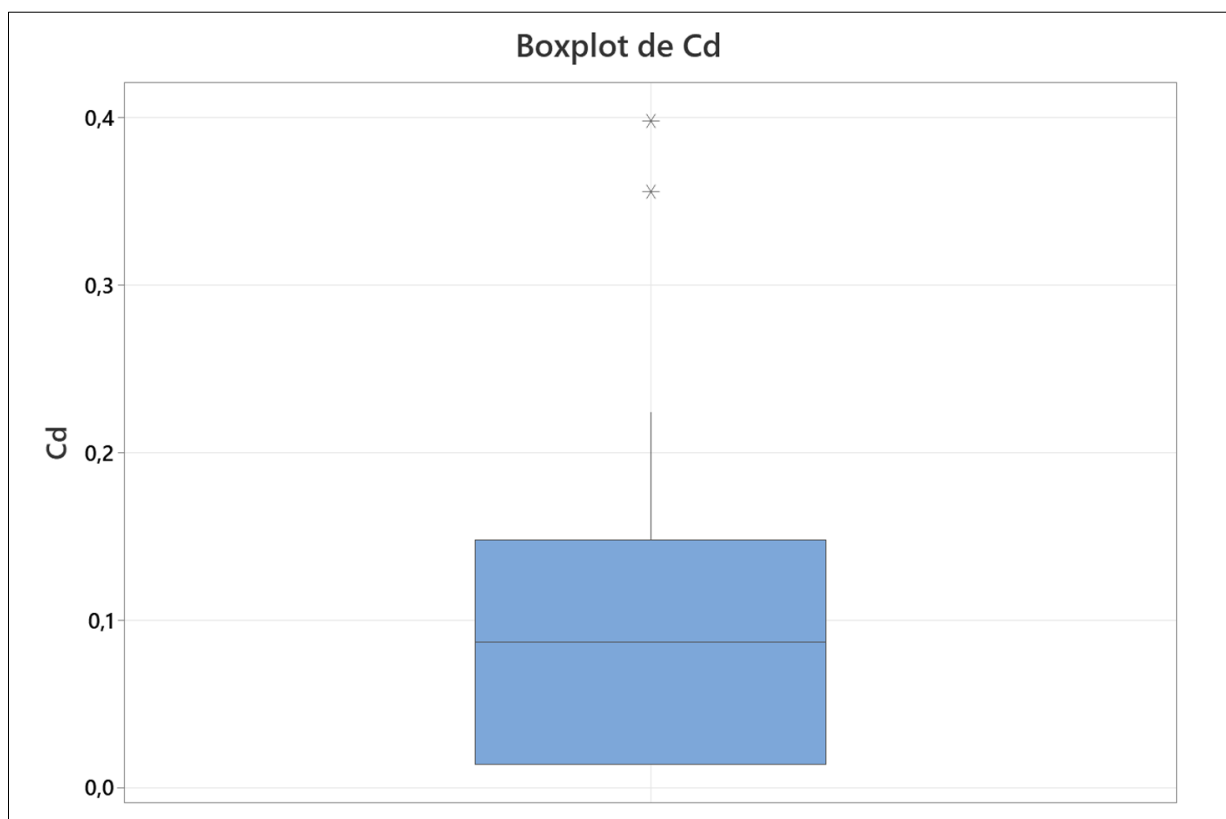


Figura S8. Boxplot do metal Cádmio em amostras de ostras

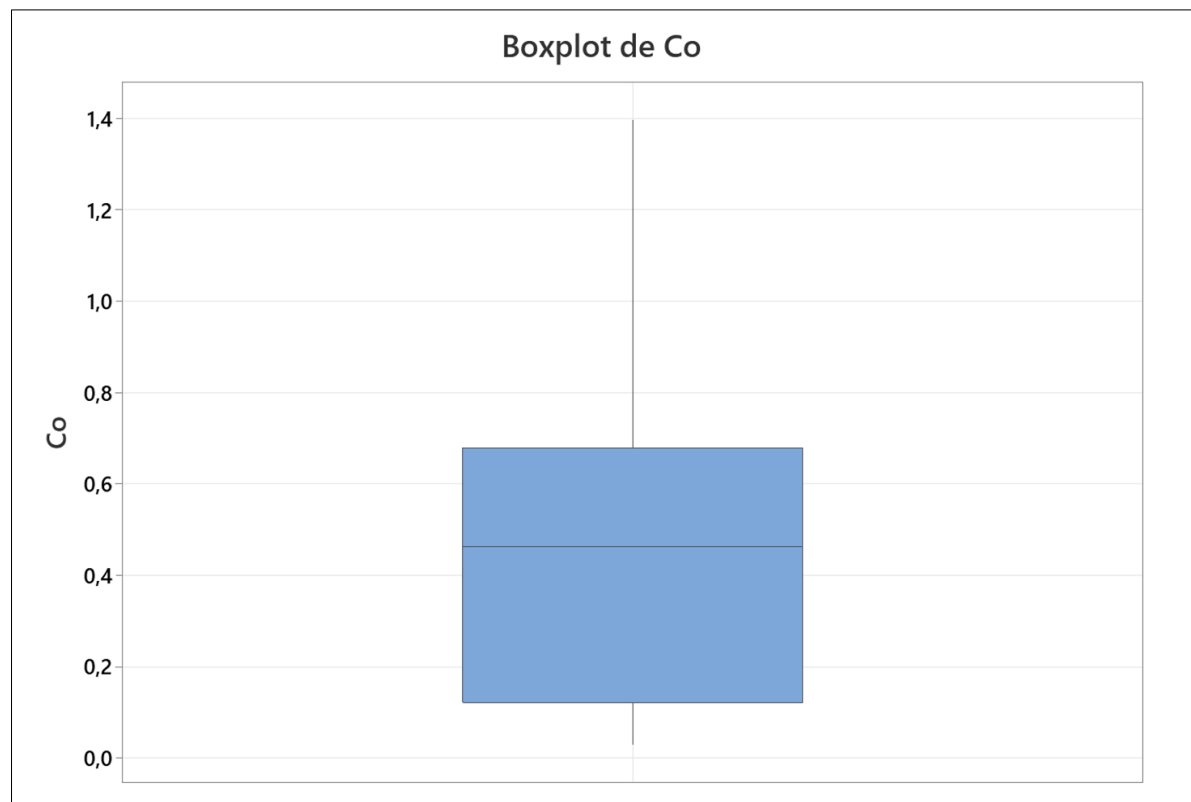


Figura S9. Boxplot do metal Cobalto em amostras de ostras

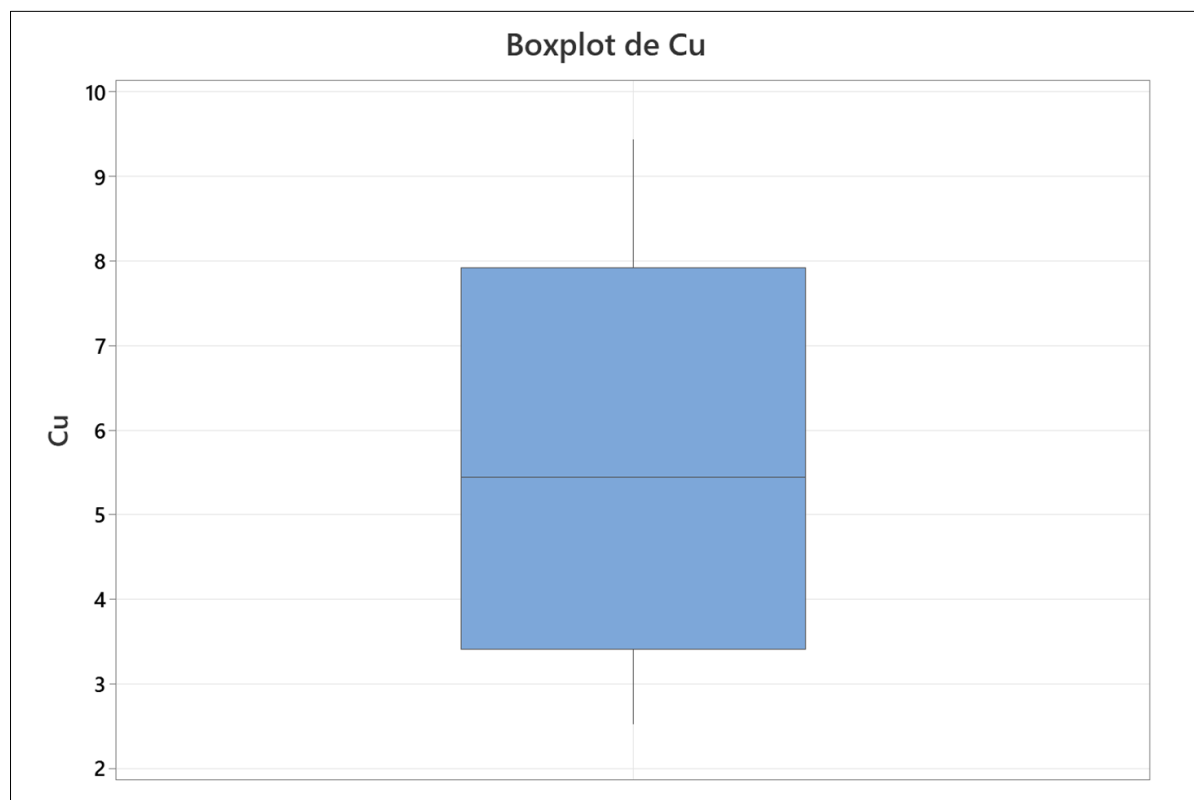


Figura S10. Boxplot do metal Cobre em amostras de ostras

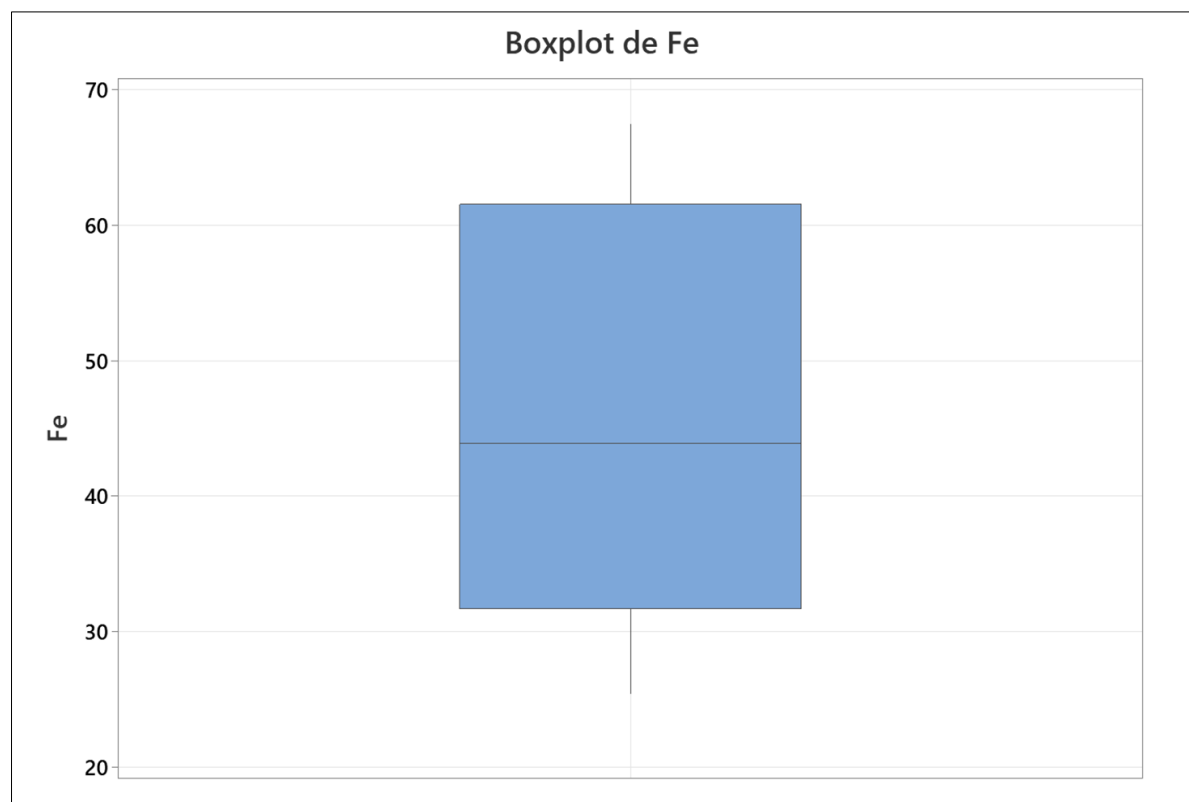


Figura S11. Boxplot do metal Ferro em amostras de ostras

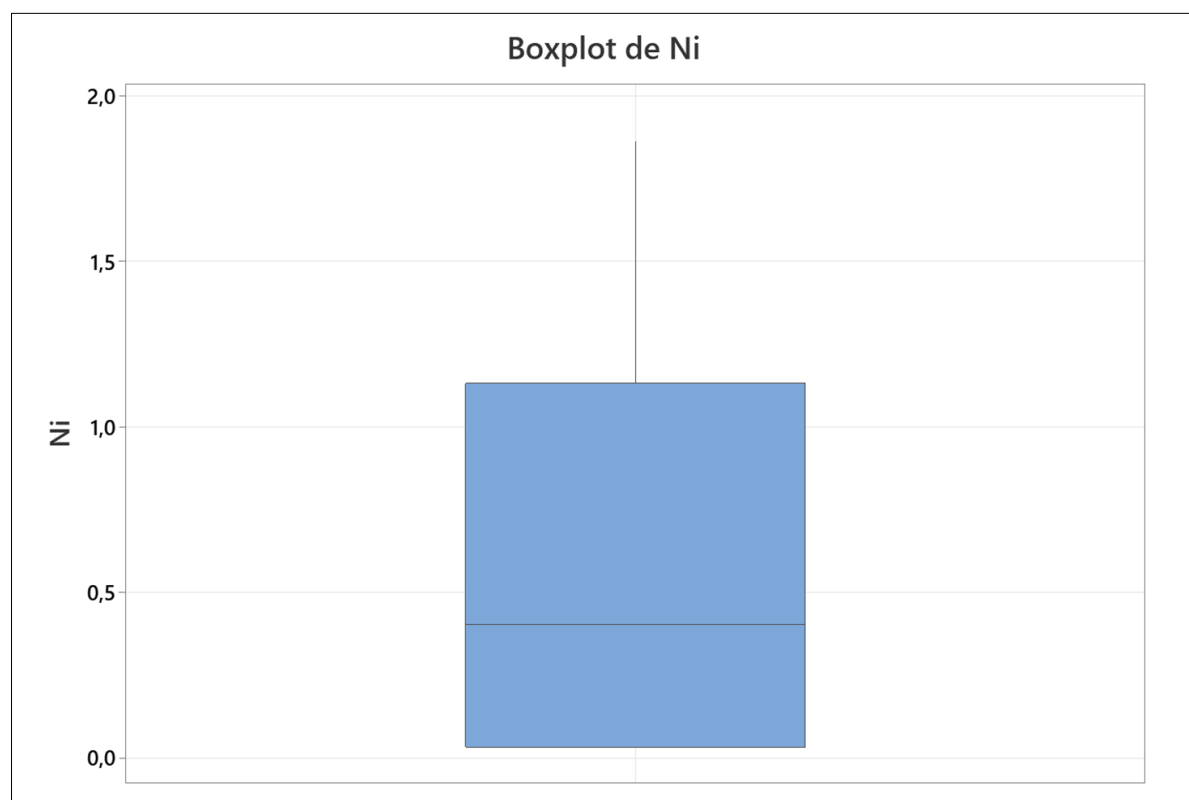


Figura S12. Boxplot do metal Níquel em amostras de ostras

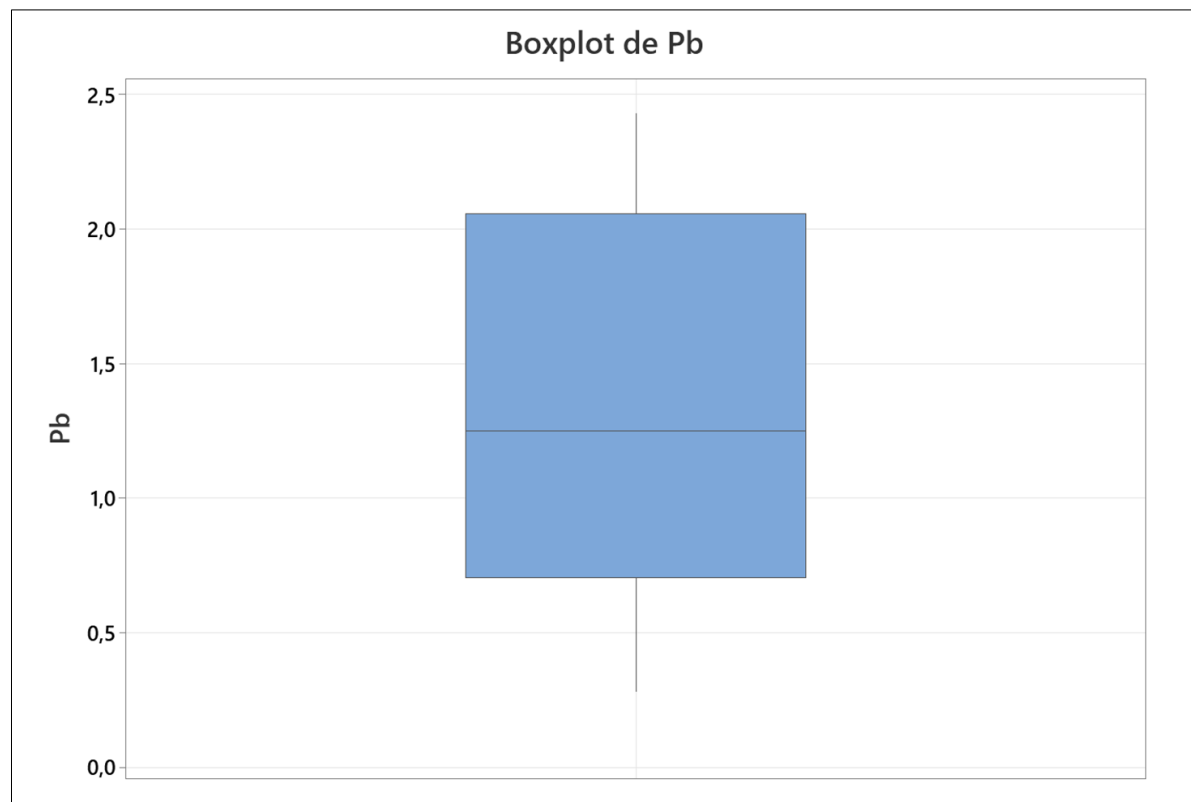


Figura S13. Boxplot do metal Chumbo em amostras de ostras

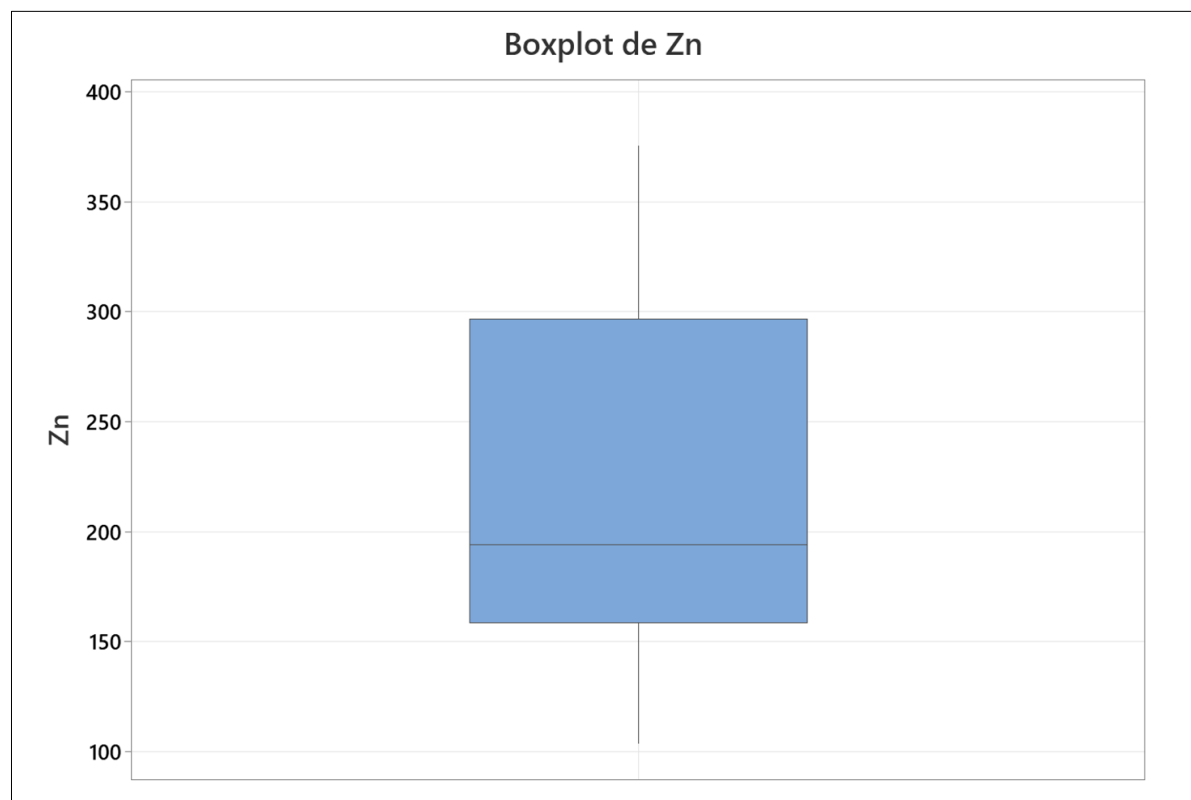


Figura S14. Boxplot do metal Zinco em amostras de ostras